#### МИНИСТЕРСТВО НАУКИ И ВЫСШЕГО ОБРАЗОВАНИЯ РОССИЙСКОЙ ФЕДЕРАЦИИ

#### ФЕДЕРАЛЬНОЕ ГОСУДАРСТВЕННОЕ БЮДЖЕТНОЕ ОБРАЗОВАТЕЛЬНОЕ УЧРЕЖДЕНИЕ ВЫСШЕГО ОБРАЗОВАНИЯ «РЯЗАНСКИЙ ГОСУДАРСТВЕННЫЙ РАДИОТЕХНИЧЕСКИЙ УНИВЕРСИТЕТ ИМЕНИ В.Ф. УТКИНА»

Кафедра «Радиоуправления и связи»

#### МЕТОДИЧЕСКОЕ ОБЕСПЕЧЕНИЕ

по дисциплине

«Методы защиты информации в телекоммуникационных системах» Специальность подготовки – 11.04.02 «Инфокоммуникационные технологии и системы связи»

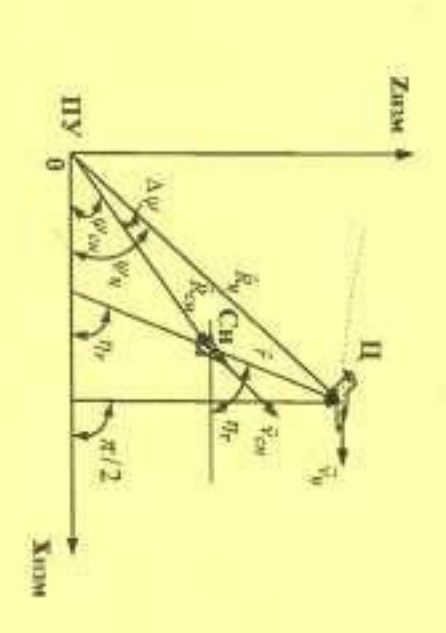
> Специальность (профиль) подготовки Интеллектуальные системы и сети телекоммуникаций

> > Квалификация выпускника – магистр Форма обучения – очная

МИВИСТЕРСТВО ОБРАЗОВАННЯ И НАУКИ РОССИЙСКОЙ ФЕДЕРАЦИИ РЯЗАНСКИЙ ГОСУДАРСТВЕННЫЙ РАДИОТЕХНИЧЕСКИЙ УНИВЕРСИТЕТ

# СИСТЕМЫ РАДИОУПРАВЛЕНИЯ

Методические указания и лабораторным работам № 1.2



Рязань 2017

УДК 621.396

Системы радиоуправлония: методические указания к дабораторным работам № 1, 2/ Рязан, гос. радиотеми, ун-т. сост.: В.С.Паршии, М.В. Куликова, Рязань, 2017, 24 с.

Изложены особенности построения и выбор основных параметров системы управлении в плоскости разных запиздываний (работа № 1) и командной радиоличнии ВИМ-ИВК-АМ (работа № 2).

Предназначены для студентов 4-го курса специальности 11.05.01 факультега радиотехники и телекоммуникаций.

Табл. 2. Ил. 15. Библиогр.: 3 назв.

Радноуправление, равносиснальная зона, плоскость равных напаздываний, контур управления, командная радиолиная, шитульсновременной код

Печатается по решенню редакциюнно-издательского совета Рязанского государственного радиотехнического университета,

Рецензент: кафедра радиоуправления и связи Рязанского госудирственного радиотехнического упиверситети (зав. кафедрой С.Н.Кириллов)

Системы радиоуправления

Составители: П в р ш и и Валерий Степанович К у л а к о в а Марина Васклъевия

Редактор Р.К. Мангутова
Корректор Н.А. Орлова
Подписано в печать 20.09.17. Формат бумаги 60х84 1/16.

Бумага писчая. Печать трафаретная. Усл. печ. л. 1,5.

Тираж 50 жд. Заклаз370
Рязанский государственный радиотехнический университет.
390005, Рязань, ул. Гагарина, 59/1.
Редакционно-яклательский центр РГРТУ.

#### Либораторная работа № 1

# СИСТЕМА УПРАВЛЕНИЯ В ПЛОСКОСТИ РАВНЫХ ЗАПАЗДЫВАНИЙ

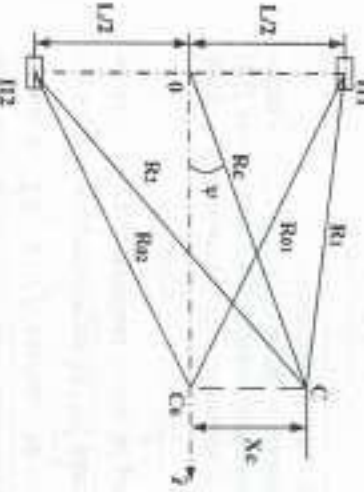
#### ЦЕЛЬ РАБОТЫ

- 1. Изучение системы управления в плоскости равных запаздываний.
- Исследование воздействия шума на рациозвено системы управления.

## КРАТКИЕ ТЕОРЕТИЧЕСКИЕ СВЕДЕНИЯ

#### 1. Принцип действия

Пункты управления П1 и П2, разнесенные на базу L и излучающие синхронно импульсы, создают плоскость равных запаздываний (рис. 1).



Когда снаряд находится в этой плоскости (точка  $C_0$ ), сигналы на снаряд от пунктов управления приходят однопременно, так 
у как  $R_0 = R_0$ . При отходе 
снаряда от плоскости равных 
запаздываний (точка C) сигналы от пунктов управления 
придут после их излучения 
на снаряд с задержками  $r_1 = R_1/c$  и  $r_2 = R_2/c$ 

Рис. 1. Плоскость равных запаздываний (с – скорость распространения радиоводин).

При выполнении условая  $L << R_c$  и небольшом угле отклонение снаряда определяется прибанскенным равенством

$$\psi \approx \frac{r_2 - r_1}{L}c. \tag{1}$$

Величина линейного отклонения

$$x_c = R_c \psi$$
. (2)

u

Структурная схема системы управления в плоскости равных запаздываний приведена на рис 2. Временные диаграммы сигналов в характерных точках структурной схемы представлены на рис. 3.

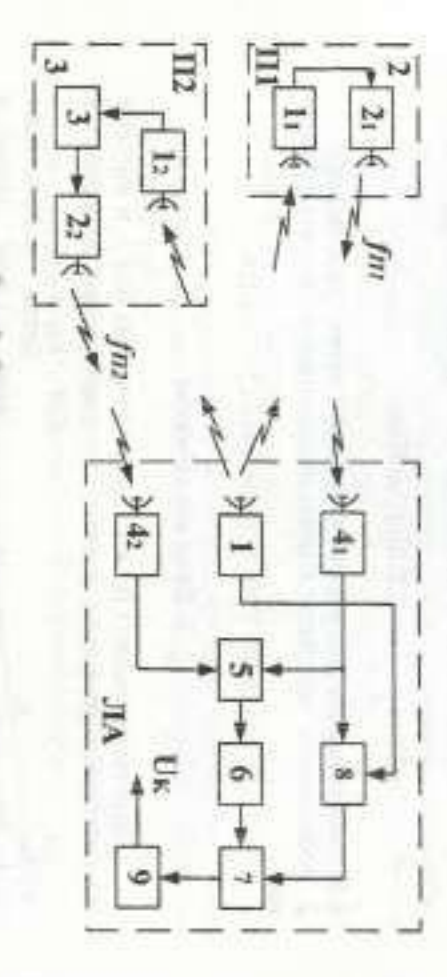


Рис. 2. Схема системы управления:

радномаяк ЛА; 1, 12 – призмники пунктов П1 и П2; 2ь 2; – передатчики пунктов П1 и П2; 3 – линия задержки; 4ь 42 – приємники ЛА; 5 – триттер; 6 – демодулитор; 7 – потенциометр дальности; 8 – блок дальности; 9 – фильтр

Радиоманк I, установленный на борту снаряда, излучает радионипульны на частоте  $f_c$  с периодом  $T_0$ . Пункты управления П1 и П2 перензлучают сигналы эпиросчика на частотах  $f_{\Pi 1}$  и  $f_{\Pi 2}$ , не меняя частоты повторения и длительности импульсов запросчика. При этом на пункте П2 сигналы задерживаются на половыну периода посылок  $T_3 = T_0/2$ . Частоты  $f_{\Pi 1}$ ,  $f_{\Pi 2}$  и половы пропускания бертовых радиоприемных устройств выбираются таким образом, что прием сигнамов с частотой  $f_{\Pi 2}$  первым бортовым радиоприемным устройством исключев, также и прием сигналов с частотой  $f_{\Pi 1}$  вторым радиоприемным устройством, установленным на борту управляжемого снаряда.

Сигналы, принятые бортовыми приемниками с пунктов управдения (рис. 3, временные диаграммы 5,6), в результате соответствующего преобразования превращьются в видеомизульсы, которые воздействуют на триттер. На выходе триттера получается напряжение

> примоугольной формы (рис. 3, дваграмма 7), которое управляет работой демодулятора временных интервалев. Фильтр нижних частот выделяет постоянную составляющую интражения на выходе демодулатора, которая и представляет собой интражение управляющего сигнада, поступающего затем на органы управлении ЛА.

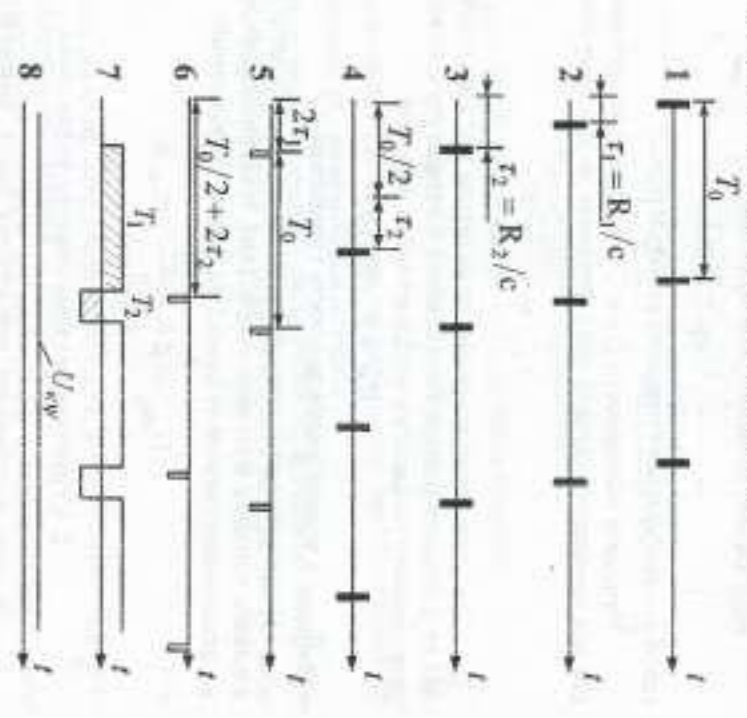


Рис. 3. Временные диаграммы:

1 — излучаемые сигналы; 2, 3 — сигналы, принимаемые приемниками пункта управления; 4 — сигнал на выходе линии задержки; 5, 6 — сигналы, принимаемые приемниками ЛА; 7 — сигнал на выходе тригтера; 8 — командиый сигнал

Из временных диаграмм можно установить, что коэффициент команды

$$Q = (T_1 - T_2)/T_0$$

определенный длительностью положительного и отришательного импульсов гриттера 5, завасит от задержек три тр:

$$Q = 4(r_2 - r_1)/T_0$$
. (3)

Напряжение на выходе демодулитори

$$U_{\kappa\psi} = K_0 Q$$
,

где  $K_{\phi}$  – коэффициент передачи демодулятора

Учитывая зависимости (1) и (3), получаем следующее выражение для команциого сигнала при управлении по угловому отклюнению:

$$U_{\kappa \psi} = 4 \frac{K_{\partial} L}{cT_0} \psi. \qquad (4)$$

Для управления снарядом по ведичине его лимейного отклоненая от плоскости равных запаздываний в аппаратуру снаряда вводится потенциометр дальности с коэффициентом передачи

$$K_R = R_c / R_{\text{max}}, \qquad (5)$$

где  $R_{\rm max}$  – максимальная дальность управления.

Напряжение демодулятора подвется на потенциометр дальности, с выхода которого получаем напряжение, пропоршнональное линейному отклонению снаряда от плоскости равных запаздываний:

$$U_{\kappa x_c} = 4 \frac{K_0 L}{c T_0 R_{\text{max}}} x_c. \qquad (6)$$

## 2. Структурная схема контура управления

На рис. 4 приведени структурная скема замкнутого контура управления рассматриваемой системы радионаведения в плоскости равных запаздываний.

Направление полета определяется плоскостью равных запизливаний, и управление снарядом подчинено условию  $\psi_3=0$ .

Фактичоское направление полета, определенное углом  $W_C$ , является ошибкой управления. Угловая ошибка управления подмется на радиоляето, состоящее из четырех последовательно соединенных звеньев. Первое из этих звеньев определяет свять между угловой ошибкой управлении  $W_C$  и развостью временных интерватов определяет свять между угловой ошибкой управлении  $W_C$  и развостью временных интерватов

W = 0  $W_c$   $K_r$   $K_m$   $M_c$   $M_c$  M

Рыс. 4. Контур управления

передачи первого звена определяется следующим образом:

$$K_r = \frac{r_1 - r_2}{\psi_c} = \frac{L}{c}. \tag{7}$$

Соотношение (7) определяет коэффициент преобразования угловой величины  $\psi_{\mathcal{C}}$  во временной интервал.

Второе звено определяет свять разности временных интерналов  $(\tau_1 - \tau_2)$ е коэффициентом команды Q и имеет коэффициент передания

$$K_{ttr} = \frac{Q}{r_1 - r_2} = \frac{4}{T_0}.$$
 (8)

Таким образом, коэффициент передачи второго звена  $K_m$  задается параметрами передатчика на борту Л $\Lambda$ .

Третье звено является демодуляторим временных интервалов. Его коэффициент передачи

$$K_{\hat{O}} = \frac{U_{KW}}{O}.$$
 (9)

Четвертой структурной единицей радиозвена является фильтр демодулятора (ФНЧ), имеющий передаточную функцию  $\Phi(P)_{\Phi}$ .

Связь командного сигнала с ускореннем снаряда определени передаточной функцией снаряда  $\Phi(p)_{\partial x}$ . Угловое положение снаряда связано с его угловым ускорением через динамическое звено с передаточной функцией  $\Phi(p)_{\partial x}$ .

Передаточная функция контура управления:

$$\Phi(p)_{\kappa w} = \frac{\phi(p)_{p3} \Phi(p)_{o\alpha} \Phi(p)_{o\beta}}{1 + \Phi(p)_{p3} \Phi(p)_{o\alpha} \Phi(p)_{o\beta}}$$
(10)

#### 3. Ошноки управления

Наиболее характерны следующие факторы, обусловленные радиотрактом и приводишие к опшбкам в управления.

1. Ошибка управления, астинкающая из-за неидентичности пермого и игорого радиокандлов на борту ЛА, в отношении времени прохождения через них импульсов ситиалов (задержек ситиала в радиокандлок). Если разность времени прохождения импульсов через первый и второй радиоканалы обозначить  $\Delta \tau_I$ , то изменение угла визирования в соответствии с формулой (1) будет осуществляться с ощибкой

$$\Delta W \approx \frac{\Delta r_L c}{L} c$$
.

В результате управление снарядом также будет осуществляться

с соответствующей ощиоком.

2. Ощибка наведения, возникающая из-за неправильной постановки плоскости равных запазлыланий. К ощибке наведения может привести также неправильная установки времени задержки или неточная ориентации балы. Эти ощибки мотут быть уменьшены специальной костировкой радвеосистемы.

3. При высоких требованиях к точности наведении существенвой оказывается тяже составляющая ощибки управления, вознакаюшая вследствие неоднородности трасс. Это является причиной случайных или не подлежащих учету регулярных изменений скорости распространения радиоволи, что в свою очередь вызовет финоктуации значений интервалов яремени запиздывания П и г2.

 Ошибка управления, определяемая собственными шумами, а также другими помехами, действующими на входах радиоприемных устройств, находищихся на борту и на опорных пунктах.

устролети, палемента в флюктуациям временного положения импульсов, поступающих на тритер бортового приеминки. Следния импульсов, поступающих на тритер бортового приеминки. Следствием этого является изменен временных интервалов  $T_1$  и  $T_2$ , определяющих коэффициент компилы, что создает шумовое напряжение на выходе демодулитора. В структурной схеме контура управления

> влияние шума отражается введением в контур демодулитора случайного процесса со спектральной плотностью  $G(0)_{\mu\rho}$  (рис. 5).

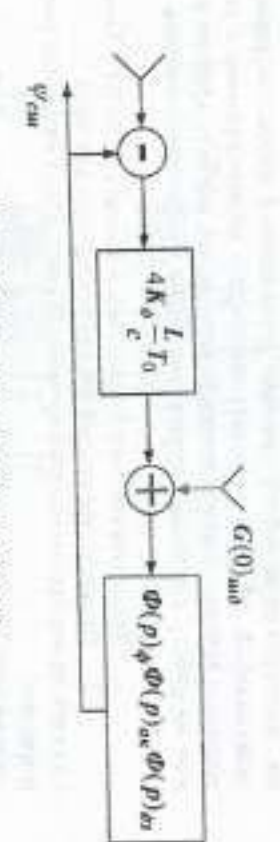


Рис. 5. Эквивалентная схема контура

Спектральная плотность шумов в контурс:

$$G(0)_{act} = \frac{K_d^2 G_{act}}{T_0 M_{col} P_{cot}}$$
, (11)

где  $G_{\rm stat}$  - спектральная плотность шумов на входе првемных трактов;  $P_{\rm cut}$  - мощность сигнала в импульсе на входе првемного тракта;  $\Delta f_{\rm KT}$  - полоса пропускания радноканала;  $T_0$  - период следования зондирующих импульсов.

Средня квадратическая ошибка, обусповленная шумами в бортовых трактах, определяется формулой:

$$\sigma_{\psi_{\omega}} = K_{\phi \chi} \sqrt{\frac{r_{\phi} T_0 \Delta F_2}{q}},$$
 (12)

где q — отношение сигнал/шум;  $\tau_\phi$  — длительность фронта импульса;  $K_\phi$  — коэффициент пропоршиональности;  $T_0$ — период следования импульсов;  $\Delta F_0$  — эффективная полюса контура.

Как видно из полученного выражения, ощибку управления из-за шумов приемника можно уменашить, увеличивая частоту повторения импульсов  $F_0 = 1/T_0$ , если при этом сохраняется неизменной им-

пульсная мощиость.
Соотношение (12) положено в основу построения лабореторной установки.

1

### ЛАБОРАТОРНАЯ УСТАНОВКА

мов на работу системы. Структурная схема имитатора привелена на грольных точках, оценить точность управления, оценить влияние шузапаздываний. Модель позволяет посмотреть осциллограммы в конму, имитирующую работу системы управления в плоскости равных системе SystemView создан файл ПРЗ 3.svu, содержащий схе-

- Запустить систему System View и вызвать файл ПРЗ 3.svu.
- Провести временной анализ устройства, для чего:
- нажать на кнопку системного времени (System Time) на панели инст-
- в окне Stop Тime установить время анализа 0,3 с и нажать ОК
- нажать киопку > основного меню

циплограммы (например, Sink 3) соответствует номеру блока отобразарисовать при времени визлиза 2 с. устроиства и его основные характеристики. Сигнал на выходе ФНЧ курсор к нужному блоку. Всплывающия полсказка содержит название которому подключен блок отображения данных, достаточно подвести жения данных (например, 3). Чтебы определить название устройства, к Зарисовать все принеденные осциплограммы. Номер каждой ос-

- правильной постановки плоскости ривных запаздываний, для чего: Исследовать ошибку наведения, возникающую из-за ē
- двойным изэжатием левой кнопки мыши открыть метасистемы 75 и 78 по изложенной выше методине установить время анализа, равное 2 с;
- (имитатор задержки сигнала 1 и 2); дважды шелкиуть левой кнопкой мыши на значке задержки сигнала
- нажатием кнопки Parameters вызвать окно установки параметров;
- новременному приходу сигналов на пункты 1 и 2, и нажать ОК, **Ерыть** метасистемы; установить время задержки (Delay), равное 0, что соответствует од-10
- дважды щелкнуть левой кнопкой мыши на блоке 18 (ЛЗ);
- установить время задержки (Delay), равное 0,035 с, и нажать ОК;
- нажать кнопку ▶;
- командного нипряжения отображает устройство Sink 64); записать в таблицу значение командного напряжения  $U_\epsilon$  (значение
- ще операция (значение задержки изменять до 0,075 с). изменить значение задержки на 0,005 с и повторить изложениые вы-

оптимальное время запержки в ЛЗ (блок 18) По результитам эксперимента построить график и установить

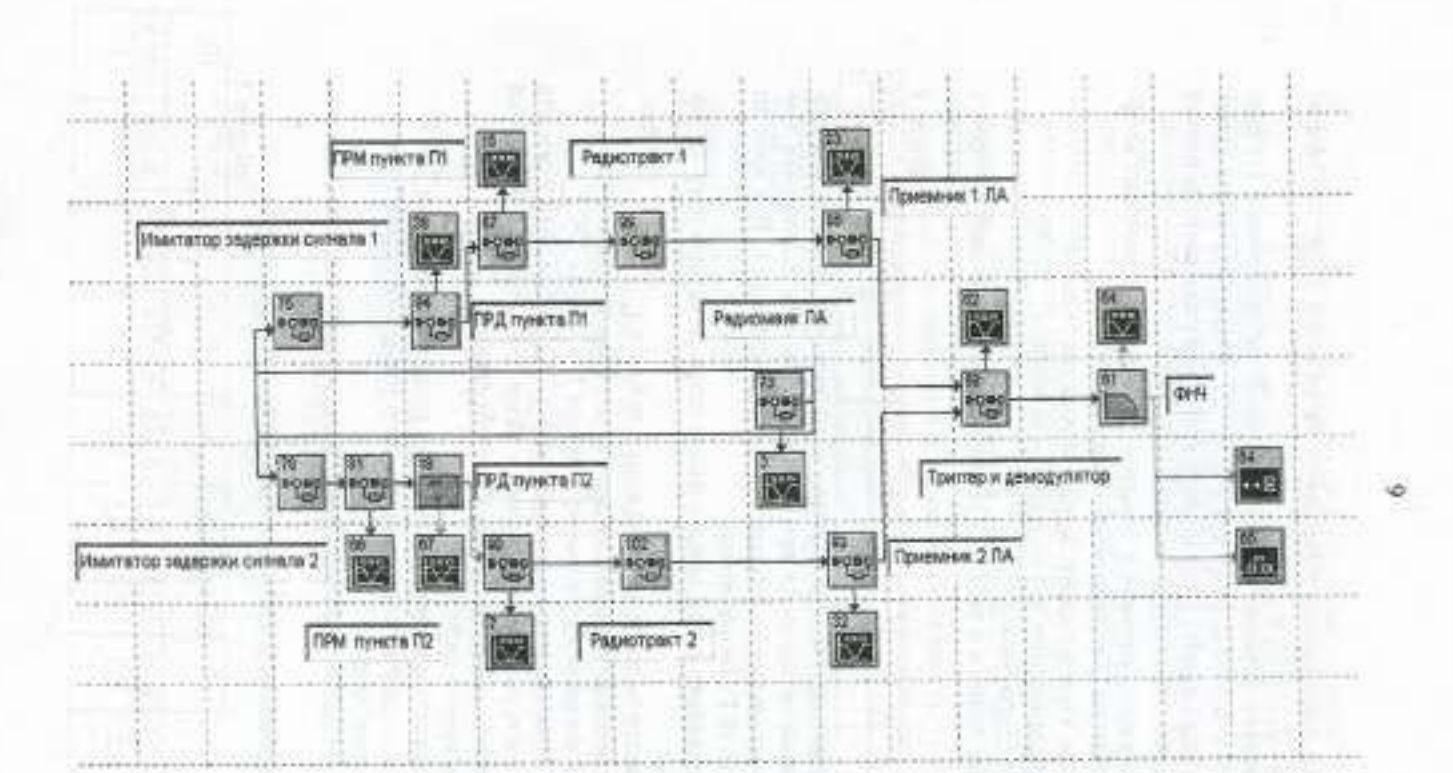


Рис. б. Структурная схема лабораторной установки

- ента компилы Q, для чего: 4. Снять зависимость командиого напряжения  $U_{\kappa}$  от коэффили
- твоистема 75) т=0,0375 с; 0,025 с; 0,0125 с; 0 с, а далес, не меняя время последовательно установить время задержки сигнала лункта III (мезадержки сигнала пункта 1, установить время задержки сигнала пункта П2 (метасистемв 78) т= 0,0125 с; 0,025 с; 0,0375 с.

фициента компилы Q по приведенной пиже методике Для каждого значения т записать  $U_e$  и оценить значения коэф-

- войти в меню View и выбрать функцию Analysis Window,
- по осириллограмме (Sink 62) определять значения T<sub>1</sub>, T<sub>2</sub>, T<sub>6</sub>;
- во формузе (3) посчитать Q.

Данные занести в табл. 1. По результатам измерений построить

график. ETHATION !

вирующих импульсов  $F_0$ . Установить время анализа 10 с. Для измения ное напряжение не меняется при изменении частоты повторения зон-5. Убедиться, что при заданном коэффициенте комвиды команд-

 двойным нажатием девой кнопки мыши открыть метасистему 73 (ра- $F_0$  (от 1 Ги до 10 Ги) необходимо:

- дважды щелкнуть левой кнопкой мыши на блоке 1;
- нажатием кнопки Parameters вызвать окно установки параметров.
- установить значение F<sub>0</sub> (Frequency), равное 1, и нажать ОК.

 $\Phi$ НЧ  $F_H$  (блок 61). Для изменения  $F_H$  необходимо: параметры системы: время задержки г (блок 18) и частоту настройки Внимание! При каждом изменении частоты  $F_0$  необходимо изменить

- установить курсор на блоке 61;
- двойным нажатием левой кнопки мыши вызвать контекстное меню;
- нажитием кнопки Parameters вызвать окно установки параметров;
- нажать кнояку Алагов.
- в окне Low Cuttoff установить требуемое значение частоты и нажать

В табл. 2 приведены экачения т и  $F_{\rm H}$  для каждого значения  $F_{\rm O}$ 

T'u 1,0 FR. 0,125 0,1 0.083 0,6 0 0,0714 0,0629 0.059 0,9 0 0,055 5

Снять знаисимость  $U_s$  от  $F_0$  при Q=0. Построить график.

анализа 2 с. Решение о значении командного инприжения принимается путем усреднения 10 значений U: 6. Оценить влияние шума на работу състемы. Установить время

- установить  $F_0$ =10 Г и и соответствующие т и  $F_{H^*}$ 

- днотракт 1); двойным нажатием левой кнопки мышн открыть метасистему 99 (ра-
- совского шумп); движды щелкнуть левой кнопкой мыши на блоке 28 (неточник гаус-
- нажатнем киолки Parameters вызвать окно установки параметров; установить значение  $U_{\rm w}$  (Sid Deviation), равное 0,25, и нажать ОК;
- повторять установку параметров для блока 27 истакистемы 102 (ра-

лучения 10 редлизаций необходимо: Значение <U<sub>i</sub>> отображает устройство Sink 65 (графа *Mean*). Для по-<U<sub>e</sub>>- усредненное значение 10 реализаций командного наприжения По методике, изложенной в п. 4, сиять завислиость  $<U_i>=f(Q)$ , где

нажить на кнопку системного времени (З)зтем Тіме) на панели мист-

рументов; в графе No. of System Loops установить количество запусков системы. разное 10, и нажать ОК,

строять графики. Снять зависимости  $<U_{e}>=f(Q)$  для значений  $U_{a+}$  равных 0,5 и 1. По-

(О=0) при воздействин шума: рения зондирующих импульсов при заданном коэффициенте команды 7. Снять зависимость командиого наприжения от частоты повто-

- установить количество запусков системы, равное 50;

установить U<sub>m</sub> =1;

- по методикс, исложенной в п. 5, сиять зависимость  $< U_r > \sim f(F_0)$  и по-

строить график, Объяснить полученные результаты

9. Составить отчет.

# СОДЕРЖАНИЕ ЛАБОРАТОРНОЙ РАБОТЫ

- Ознакомиться со структурной схемой имитатора и знать ее
- pasony. 2. Знать ответы на контрольные вопросы
- 3. Подготовить бланк отчета.

### КОНТРОЛЬНЫЕ ВОПРОСЫ

- Принцип действих системы управления в плоскости равных апаздываний.
- Замкнутый коктур управления и передаточные функции его веньев.
- 3. Назвичение потенциометра дальности.
- 4. Что такое эквивалентная полосе пропускания контура и как ее определить?
- Составляющие ощибки наведения и их связь с параметрами системы управления.
- Влингие шума на ошнбку наведения.
- 7. Структурная схема имитатора лабораторной установки.
- Как выбрать Т<sub>0</sub> и L?
- Чему равно минимальное значение средней квадратической ошибки управления, обусловленной шумами?

### БИБЛИОГРАФИЧЕСКИЙ СПИСОК

- Вейцель В.А., Типугин В.Н. Радиоуправление. М.: Сов. радио, 1973. 464 с.
- Основы радиоуправлении / под ред. В.А. Вейцели- М.: Радио и связь, 1995. 327 с.

# УКАЗАНИЯ ПО ТЕХНИКЕ ВЕЗОПАСНОСТИ

Во избежание поражения электрическим током каждый студент при выполнении дабораторной работы обязан соблюдать следующие меры предосторожности.

- Перед включением установки убедиться, что все межблочные соединения не нарушены.
- При включении и выключении рубильников не касаться заземленных предметов, а также батарей центрального отопления.
- Не оставлять без наблюдения лабораторную установку, находящуюся под напряжением.
- В случае неисправности анпаратуры немедленно выключить рубильник питания анпаратуры и сообщить об этом преподавателю.
- Окончив работу, выключить все блоки и привести в порядов рабочее место.

#### Лабораторная работа № 2

# КОМАНДНАЯ РАДИОЛИНИЯ ВИМ-ИВК-АМ

#### ЦЕЛЬ РАБОТЫ

- 1. Изучение командной радиолинии ВИМ-ИВК-АМ.
- Оценка аппаратурной точности передачи юмана в линии ВИМ-ИВК-АМ.
- Исследование воздействия шумов на точность передачи команд и двини ВИМ-ИВК-АМ.

## КРАТКИЕ ТЕОРЕТИЧЕСКИЕ СВЕДЕНИЯ

# 1. Общая характеристика командного радноуправления

Для командного радиоуправлению характерным является формирование команд управления движением летительного аппарата (ЛА) на пункте управления и передача их на борт ЛА с помощью специальной командной радиолинии. Чтобы сформировать команду на пункте управления, необходимо иметь на ием данные о параметрах движения цени и ЛА. В завысимости от способа получении этой информации командное радиоуправление (КРУ) разделяется на три вида; КРУ-1, КРУ-2, КРУ-3.

При КРУ-1 параметры движения цели и ЛА язмержотся вепосредственно на пункте управления с помощью радиовизиров. По данным радиовизиров вычислительное устройство с учетом метода наведения вырабатывает команды управления, передаваемые с помощью командкой радиолинии на борт ЛА. На пункте управления находится передатчик командкой радиолинии (КРЛ), а на борту – приемник КРЛ. Принятая на борту команда поступает на патопилот, который через органы управления меняет пространственное положение ЛА.

При КРУ-2 радиомизир цели устанавливается на борту ЛА, оценивая положение цели относительно ЛА. На пункт управления эта информация передается по специальной линии связи. Вырабстка команд управления и передача их на борт ЛА осуществляются, как и при КРУ-1. Установка радиовизира цели на борт ЛА обеспечивает управление ЛА при нахождении цели за радиогоризонтом.

КРУ-3 является частным случаем КРУ-1. Его особенность состоит в том, что цель отождестивается с положением радиовизира, т.е. осуществляется навеление «на себя».

# 2. Принцип действив компидной радиолинии ВИМ-ИВК-АМ

Линия ВИМ-ИВК-АМ использует импульсный режим излучения, временное уплотиение казалов и при импульсной поднесущей имсет три ступени преобразования командного сигнала.

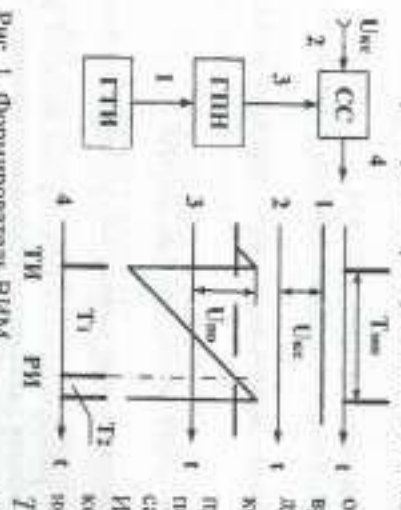
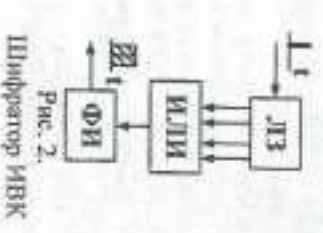


Рис. 1. Формирователь ВИМ

На первой ступени преобразования осуществляется временная импульсная модуляция ВИМ (рис.1). Здесь командиый сигнал  $U_{\kappa C}$ преобразуется во временное положение рабочего импульса относительно тактового Информация о передаваемой команле заключается в развости временных интервалов  $T_1$ ,  $T_2$  и карактеризуется

 $Q_s = (T_1 - T_2)/T_{ssr}$ , при этом  $T_{ssr} = T_1 + T_2 = const$  - период манн-пулкции. Осуществляется ВИМ по схеме рис. 1. Генератор тактовых импульсов. ГТИ обеспечивает запуск генератора пылообразного напряжения ГПН. Командиый сигнал и пилообразное напряжение подаются на схему сравнения СС, которая в момент достижения пилообразного напряжения пилообразного сигнала вырабатывает рабочий импульс РИ. С изменением уровни команды рабочий выпульс деремещается между тактовыми импульсами ТИ, при этом коэффициент команды пропорционален команды обеспечалу  $Q_s = U_{sc}/U_{st0}$ .



На второй ступени модуляции осуществляется импульсно-временное кольрование рабочих и тактовых импульсов. Импульсно-временные колы (ИВК) карактеризуются бизой  $T_G$ , числом импульсов в коле  $n_{\kappa^+}$ , длительностью импульсов  $\tau$  и временной расстановкой  $T_I$  имитульсов в пределах баты. Формируется ИВК шифратором (рис.2). Шифратор состоит из линии задержки ЛЗ с числом отполоя (включая якол и выход), определенных числом импульсов в коле, схемы ИЛИ и фор-

мировителя импульсов ФИ.

Полученные ИВК тактовых и рабочих импульсов объединаются в единый групповой сигнал  $U(t)_M$ , поступающий на модулитор передатчика, обеспечивая амилитулную макипуляцию (третъв ступень модуляции) несущего колебания.

На приемной стороне для получения команды осуществляется амплитульное детехтирование несущего колебания, в результате которого выделяется групповой сигнал  $U^*(I)_M$ , далее идут нормирование его к импульсам единого уровия и длительности, затем дешифрации ИВК и демодуляции ВИМ.

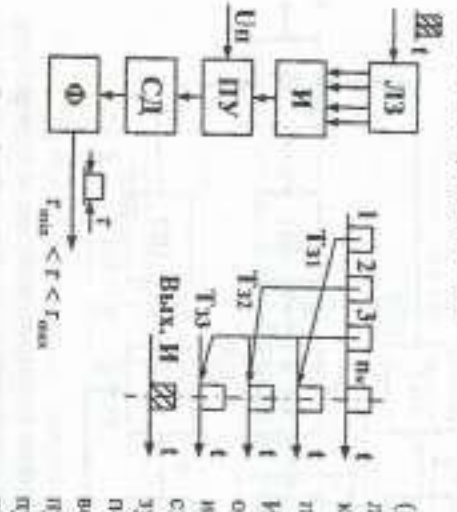


Рис. 3. Дешифрации ИВК

Деизифрация ИВК (рис. 3) производится на линии задержин ЛЗ, отводы которой следаны так, что с приходом Л<sub>К</sub>-то импульса ИВК на всех выходах ЛЗ одновременно имеют место импульсы. При этом на схеме совтадения И обратуется импульс, временное положение колечному импульсу ИВК. Далее импульс со схеми И проходит пороговое устройство

ПУ, селектор длительности СД и формирователь Ф. Наличие импульса на выходе формирователя при прохождении ИВК на выходе ЛЗ и ость результат дешифрации ИВК. Для каждого ИВК нужен свой дешифратор, при этом ЛЗ может быть общей.

Демодуляция ВИМ, т.е, выделение командного сигнала, осуществляется путем перехода от ВИМ и широтпо-импульской модуляции (ШИМ). Такой переход выполняется с помощью тригтера, запускаемого дешифрированными тактовыми импульсами и останавливаемого дешифрированными рабочими импульсами. Далее сигналы ШИМ фильтруются фильтрами нижних частот. Выделяемая таким образом низкочастотиля составляющая определяется как

17

$$U_{\kappa c}^* = K_{\phi} U_m Q = K_{\phi} \frac{U_m}{U_n} U_{\kappa c}, \qquad (1)$$

гле  $K_{cb}$  — коэффициент передачи фильтра:  $U_m$  — уровень сигнала ШИМ.

Структурная скема инэксмастотной части передатчика раджолиния с лискретимми симметричными временными интервалами привелена на рис. 4, а временные диаграммы, поясияющие ее работу, - на рис. 5.

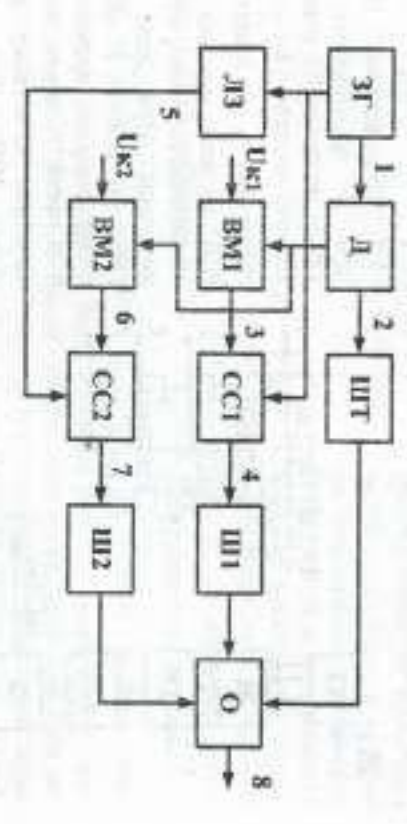


Рис. 4. Структурная схема инзкочастотной части передитчика ралиолинии ВИМ-ИВК-АМ с дискретными самметричными пременньми интервелами: ЗГ — задающий генератор; Д — делитель; ШТ шифратор такта; ИЗ — линия задержки; ВМ — временной модулятор; СС — схема стробирования; Ш1, Ш2 — цифраторы; О — объединитель

Характерной особенностью радиолинии является то, что импульсы ИВК каждой команды могут персмещаться на интервале  $T_{MR}$ . При этом веживочнется возможность совпадения во времени ИВК разных команд.

Задающий генератор 31 вырабатывает последовательность импульсов с частотой

 $f_{sr} = f_{mr}K$ 

где число K определяется требуемой точностью при передаче команд.

С помощью делителя  $\mathcal{R}$  (частота 3Г делител на  $\mathcal{K}$ ) формируется последовательность импульсов с частотой  $f_{NN}$ . На выходе шифратора такта ШТ формируется тактовый ИВК. С помощью временных модуляторов ВМ происхолит преобразование командных напряжений  $U_{N1}$  и  $U_{N2}$  во временные интервалы  $I_{N1}$  и  $I_{N2}$ . Рабочие импульсы на выходе временных модуляторов имног длительность, равную  $T_{\infty} = l/f_{\infty}$ . Рабочие импульсы с выхолов временных модуляторов

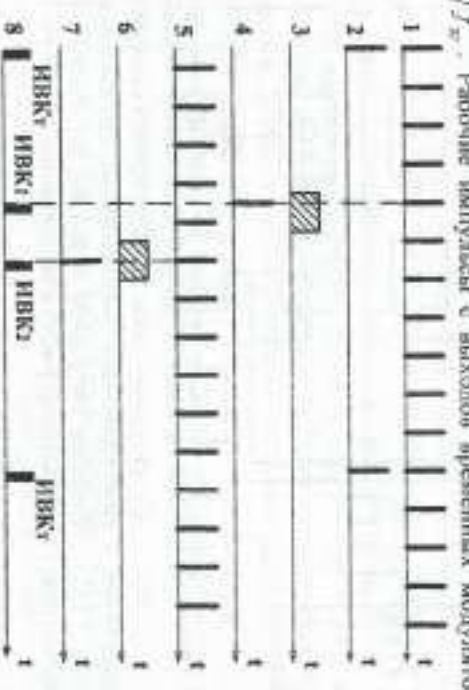
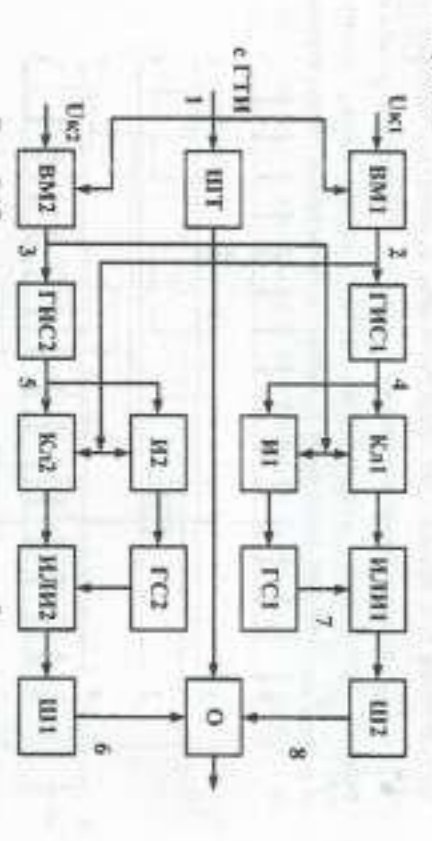


Рис. 5. Временные днаграммы, поясияющие работу радиолинии: 1—
выходные ямпульсы залающего генератора: 2— импульсы с выходя
делителя; 3, 6— рабочие импульсы, снимаемые с выхода временных
модуляторов; 4, 7— импульсы с выхода схем стробирования; 5— импульсы с выхода линии задержин; 8— выходные сигналы инокочастотной части передатчика радиолинии

подвются на входы схем стробировании СС. На другие входы схем стробирования подвются импульсы с выхода ЗГ (на вход схемы ССІ) или с выхода ЛЗ (на вход ССС). Линия задержия ЛЗ задерживает импульсы, снимаемые с ЗГ, на половину периода  $T_{\rm p}$ . С выхода схем стробирования СС снимаются импульсы основной и задержиной последовательности, совпадающие по премени с рабочими импульсами. С помощью шифраторов Ш формируются ИВК комана. После объединения ИВК подвотся на модулитор.

Структурная схема нижочастотной части передатчика раднолинки с симметричными непрерывными временными интервалами приведена на рис. 6, а временные диаграммы, поясилющие ее работу, на рис. 7.



Рис, 6. Структурная схема низкочастотной части передатника радиолинии с симметричными непрерывными пременными интерналими: ГИС – генератор импульсов селекции; Кл – ключ; И – схеми совпадения; ГС – генератор импульсов смещения

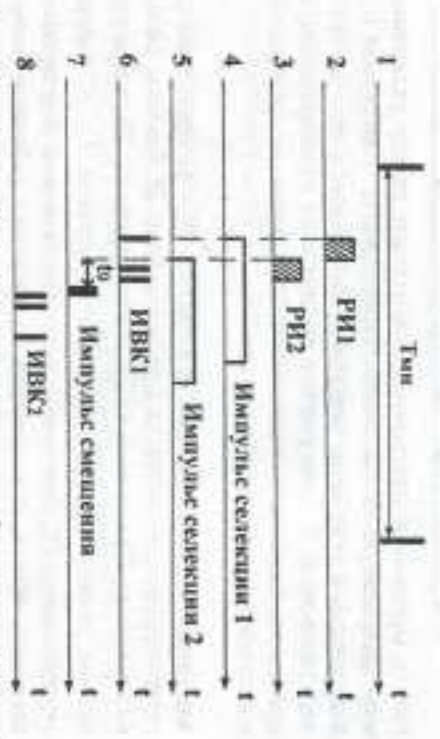


Рис. 7. Временные диаграммы, поясияющие работу радиолинии: 1 – тактовые импульсы; 2, 3 – рабочие импульсы; 4, 5 –импульсы селекции; 6, 8 – импульсы ИВК; 7 – импульс смещения

В том случае, когда  $U_{\kappa,2}$ , рабочие импульсы РИ1 и РИ2 совпадают по пременя. Предположим, что РИ1 незначительно опережает во временя РИ2. Через нормально открытый ключ Кл2 и схему ИЛИ2 он пройдет на шифратор Ш1, где сформируется ИВК первого кавала. Импульс с выхода генератора импульсов селекция ГСИ1, который запускается рабочим импульсом РИ1, закроет ключ Кл1, исключая тем самым прохождение РИ2 на выход ключа Кл1. Но при этом выходи через которую, импульсом генератора ГИС1 открывается схема И1, проходи через которую, импульс РИ2 запускает генератор импульсов смещения задержав на время  $t_0$  относительно рабочего импульсов смещения задержав на время  $t_0$  относительно рабочего импульса РИ2. Время  $t_0$  определяется длительностью ИВК. Проходя через схему ИЛИ1, импульс смещения поступает на шифратор Ш2, где формируется ИВК второго канала. В объединителе О происходит объединение рабочих и тактовых ИВК.

### 3. Воздействие шума на раднолниню, радноэквипалент линии, точность персдачи команд

В реальных условиях на работу командной радиолинии ВИМ-ИВК-АМ оказывают воздействие ких искусственные помехи, так и внутренние шумы привемных устройств. Шумы, действующие на входе присмной части, приводят к подавлению тактовых и рабочих ИВК. Сущность подавления ИВК такова: под воздействием шума отдельные импульсы ИВК получают случайные временные смещения, что либо приводит к несовпадению импульсов с выходов ЛЗ дешифратора на может оказаться меньше минимально допустимой т<sub>тріп</sub> н схема селекции длительности его не пропустит – кол подавлень.

Подавление кода имеет место, когда величина временных флюктуаций импульсов под воздействием шума превышает значение  $\pm \Delta \tau_{\Sigma}$ . Отношение  $\tau/2\Delta \tau_{\Sigma} = \mu_{K}$  вазывается жесткостью селекции. Если очитать, что все импульсы кодовой группы одинаковы и языимные смещения между инми не коррелированны, то дри нормальном законе распределения временных смещений импульса кода вероятность подавления кодовой группы из  $n_{K}$  импульсов определяется завиностью

$$P_{mod} = 1 - \left[ \Phi \left( \frac{r}{2\mu_{\kappa}r_{\phi}} \sqrt{\frac{P_{c,\kappa\kappa}}{P_{u,\kappa\kappa}}} \right) \right]^{n_c}$$
 (3)

гле  $P_{c,ax}/P_{m,ax}$  — отношение мощности принимаемого импулься к мощности шума на выходе приемника (отношение сигнал/шум);  $\tau_{\phi}$  — длительность фроита импульса;  $\Phi(x)$  — интеграл вероитностей.

Из (3) следует, что вероятность подавления ходовой группы увеличивается с увеличением значности кола  $n_{\kappa}$ , жесткости селекции  $\mu_{\kappa}$  и уменьшается с ростом отношения ситил/шум.

Вероятность прохождения ИВК при действки шума:

$$P_{npox} = 1 - P_{nod}. (4)$$

При подавлении кодовых групп шумом меняется значение принятого командиюте напряжении по сравнению с перединым. Анильз процесса изменения напряжения на выходе приемкого тритгера, преобразующего сигнал ВИМ в ШИМ, за достаточно большой временной интервал при неизменном урошие переднаваемого командиюто напряжении  $U_{\kappa c}$  показывает, что величина принимаємого командиого катряжения при поддаллении ИВК [3]:

$$U_{\kappa\varepsilon/\mu} = K_{\phi} \left( U_{m} / U_{n} \right) P_{npox} U_{cn} + K_{\phi} P_{nod} . \tag{5}$$

Зависимость (5) и определяет структуру радиоэквиналента линии (рис. 8), состоящего из безынерционной части с коэффициентом

$$\bigcup_{KGy} \underbrace{KGy} \longrightarrow \bigoplus_{AUnx} \underbrace{K(p)}_{AUnx}$$

Рмс. 8. Радиоэканвалент ли-

передачи  $K_{\tilde{O}N}=K_{\tilde{O}}(U_m/U_n)P_{npox}$ , помехового напряжении  $\Delta U_{RX}=K_{\tilde{O}}U_mP_{noo}$  и инерционной части, определенной фильтром нижнах частот сигтала ШИМ.

Наличне помехового капряжения, обусловленного подавленисм ИВК шумом, приводит к систематической ошибке в управлении Относительная ошибка в перезаче команд, обусловленная подавлением ИВК шумом,

$$\beta_{uu} = \frac{U_{\kappa c}^{\bullet} - U_{\kappa c}}{U_{\kappa c \max}} = \frac{1 - Q_{\kappa}}{Q_{\kappa \max}} (1 - P_{npox}), \quad (6)$$

где  $Q_{\kappa}$  — текущий коэффициент команды;  $Q_{\kappa\, {
m max}}$  — максимальный коэффициент команды.

$$\beta_{iu} = \frac{n_c}{\sqrt{\pi Q_{\pi \max}}} \exp \left[ -\frac{1}{\mu_{cp}^2} \frac{P_{cest}}{P_{iu.ex}} \right]. \quad (7)$$

Таким образом, точность передачи команды при действии шума зависит от отношения ситили/шум, значности кода и жесткости селекции по фронту.

### ЛАБОРАТОРНАЯ УСТАНОВКА

В системе SystemView создан фабл ВИМ1. svu, содержащий схему, имагирующую работу командной радиолинии ВИМ-ИВК-АМ, Модель позволяет посмотреть осциллограммы в контрольных точках, оцинить точность передачи команд, оценить злаяние шумов на работу системы. Структурная схема имитатора приведена на рис. 9.

1. Запустить систему SystemView и вызвать файл ВИМ1.svn.

2. Провести временной анализ устройства, для чего:

 нажать на кнопку системного времени (System Time) на памели инструментов;

- в окне Stop Time установить время анализа 2 с и нажать ОК

нажать мнолку ➤ основного межю.

Зарисовать все приведенные осциллограммы. Номер наждой осциллограммы (инпример, Siak 3) соответствует вомеру блока отображения данных (инпример, 3). Чтобы определить название устройства, к которому подключен блок отображения данных, достаточно подвести курсор к нужному баоку. Вспимпающил подсказка содержит название устройства и его основные характеристики.

Сравнить временное положение импульсов на выходах временного модулятора ВМ (блок 2, осциллограмма Sink 24), схемы стробирования (блок 3, осциллограмма Sink 25) и инфратора (блок 4, осциллограмма Sink 26). Объяснить полученные результаты.

 Меняя время анализа (венечаны Start Time и Stop Time), определить период следования тактовых импульсов, структуры импульсно-временных кодов и длительность импульсов ИВК.

 Установить время видина 1 с. Набаюдая временное положение импульса (Sink 25) на выходе схемы стробирования первого канали (на схеме метасистема 3) при наменении уровни команд. Рис. 9. Структурная схема лабораторной установки:

1, 18 — датчики команд 1-го и 2-го каналов; 2, 16 — временные модуляторы; 3, 12 — схемы стробирования; 4, 13 — шифраторы команд; 5 — задающий генератор; 6 — делитель; 7 — шифратор такта; 8 — сумматор; 9, 10 — дешифраторы команд; 11 - линия задержки; 14, 22 - тригтеры; 15, 23 - фильтры нижних частот; 17, 19,20 - схема формирования шума; 21 - депифратор такта; 24 - 42 - устройства отображения информации

определить уровненную дискретизацию команд. Для изменения уров-

левой кнопки мыши открыть метвенстему; установить курсор на блок I (датчик коминд I), двойным нажатием

да вызвать контекстное меню; двойным нажитнем левой инопкой мыши из значке источника сигна-

нажатнем кнопки Parameters вызвать окно установки параметров;

жать кнопку ОК. ние напряжения: 0,01 В; 0,03 В; 0,05 В; 0,07 В; 0,09 В; 0,011 В и на- в графс Атпрінийе (v) установить последовательно требуемое значе-5. Свить зависимости уровия выходных командных напряже-

го канала - метасистема 1, второго - 18), для чего: ния U<sub>X</sub> от напряжения командных датчиков U<sub>Д</sub> (датчик команд перво-Uд менять от -0,9 В до +0,9 В через 0,05 В;

установить первое значение U<sub>Д</sub> (использовать методику, изложенную

-даписать в таблицу значение и  $U_K$  (значение  $U_{K1}$  отображает устройст-- нажать кнопку 🏲 :

во Sink 34, значение  $U_{\rm K2}$  отображает устройство Sink 41); изменить значение U<sub>д</sub> и повторить изпоженные выше оперший.

Объяснить характерное поведение графика. Построить график зависимости  $U_K = f(U_{IJ})$  для обоих каналов.

6. Оценить влияние плинтивного шума на точность передачи

команд, для чего: совского шума); дважды шелкнуть левой кнопхой мыши на блоке 17 (источник гаус-

нажатием кнопки Parameters вызвать окно установки параметров.

 установить зивчение U<sub>m</sub> (Std Deviation), равное 0,7, и нажать ОК; - нажать на кнопку системного времени (System Time) на панели инст-

рументов, мы, равное 20, и нажать ОК; в графе No. of System Loops установить количество запусков систе-

дважды целкнуть левой кнопкой мыши на блоке 34;

- нажать кнопку Statistics и нажать ОК;

рез 0,3 В, среднее значение командного нагряжения <U<sub>к</sub>> изить из гра-(для первого канала) (входьюе напряжение менять от -0,9 до 0,9 В чекомандного напряжения <U<sub>X</sub>> от напряжения командного датчика U<sub>A</sub> по методике, идложенной в п. 5, снять знансимость урозня выходного du Menn);

- снять зависимости <  $\cup_{n}> -f(\cup_{n})$  для значений  $\cup_{n}$ , равных 0,8 и 0,9 Построить полученные зависимости и объяснить результаты

#### КОНТРОЛЬНЫЕ ВОПРОСЫ

- . Способы командного размоуправления
- Структура замкнутого контура при командном радиоуправления.

 Общие принципы действие командных радиолиний ВИМ-ВК-АМ.

4. Принципы действия радиолиний ВИМ-ИВК-АМ с двекретными симметричноски временными интерналами.

 Принципы действия радиолиний ВИМ-ИВК-АМ с несимметричными временными интервалами.
 Принципы действия радиолиний ВИМ-ИВК-АМ с сим-

метричными непрерывными временными интервацими.
 Механизм подавления ИВК шумом. Вывести зависимость
 4).

Из каких соображений опенивается число импульсов в

 Из каких соображений осуществляется размещение импульсов ИВК?

Как находятся радиоэквивалентВ линин?

 От чего зависит вероятность образования ложных ИВК при действии шума?
 В чем смыси отруктурной защиты радиолинии ВИМ-ИВК-

 От чего зависят эффективность структурной защиты рашколинки ВИМ-ИВК-АМ?

14. Как оценить алияние шума на точность передачи команд?

### БИВЛИОГРАФИЧЕСКИЙ СПИСОК

 Волковыский С.А., Оноприенко Е.И., Савинов В.А. Радиоустройства систем управления летательными аппаратами. М.: Машиностроение, 1972. 406 с.

 Основы радиоуправлении/ под ред. В.А. Вейцеля. М.: Радио и связь, 1995. 327 с.

 Типутан В.Н., Вейнель В.А. Радиоуправление. М.: Сов. радво, 1962. 750 с.